

A.B. Сліпкань, Д.Є. Китова, О.В. Штеменко

## ШАРУВАТИ НАНОЧАСТКИ ЦИРКОНІЙ ГІДРОФОСФАТУ ЯК ФОРМА УПАКОВКИ ДЛЯ TRANS-Re<sub>2</sub>(RCOO)<sub>2</sub>Cl<sub>4</sub>

ДВНЗ «Український державний хіміко-технологічний університет», м. Дніпро

Досліджувався процес інтеркаляції комплексних сполук диренію(ІІІ) транс-конфігурації загальною формулою trans-Re<sub>2</sub>(RCOO)<sub>2</sub>Cl<sub>4</sub> в шари цирконій гідрофосфату (ZrP), використовуючи в якості прекурсору 7,6 Å – ZrP – неорганічний шаруватий наноматеріал. Для визначення найбільш ефективних параметрів інтеркаляції готовили системи комплекс/ZrP у співвідношенні 1:5, 1:30 та визначали розчинник. Для підтвердження наявності комплексів диренію(ІІІ) в інтерламінарному просторі шарів ZrP застосовували методи порошкової дифракції та UV-Vis спектроскопії. Дані дифрактограми свідчать про утворення нової інтеркальованої фази з відстанню між шарами у 13,39–11,5 Å, при цьому ефективність включення сполуки диренію(ІІІ) збільшується із збільшенням її кількості, що підтверджується даними UV-Vis спектроскопії. Протягом процесу інтеркаляції спостерігалася зміна в спектральній картині комплексу ренію(ІІІ) транс-конфігурації. У системі комплекс диренію(ІІІ)/ZrP у співвідношенні 1:5 спостерігалося зникнення максимуму в області 12500 см<sup>-1</sup> та зміщення смуги поглинання з 16129 см<sup>-1</sup> до 16393 см<sup>-1</sup>. Таким чином, інтеркаляція trans-Re<sub>2</sub>(RCOO)<sub>2</sub>Cl<sub>4</sub> в шари цирконій гідрофосфату відбувається за рахунок координації четвертого атому Оксигену, який націлений в інтерламінарний простір, що призводить до зміни структурного типу вихідної комплексної сполуки. Процес інтеркаляції не залежить від довжини радикала карбоксилатного ліганду, але залежить від співвідношення комплекс диренію(ІІІ)/ZrP.

**Ключові слова:** комплексні сполуки диренію(ІІІ), цирконій гідрофосfat, інтеркаляція, наноматеріали, шаруваті наночастки.

### Вступ

Одним з важливих етапів створення лікарських препаратів є дослідження та дизайн систем доставки діючих речовин. На сьогоднішній день, багато з ліків, які розробляються або використовуються у терапевтичній практиці, лімітовані у використанні завдяки поганій розчинності, високій токсичності, високим дозам препарату, агрегації, не специфічній доставці до цілі, деградації діючої речовини і, як наслідок, невеликому часу циркуляції її у кровотоці [1]. З цього приводу, останнім часом увага науковців прикута до дослідження використання саме неорганічних шаруватих наноматеріалів як платформ для доставки та контролюваного вивільнення біологічно активних речовин. Найбільш дослідженними є фосфати тетравалентних металів, серед яких цирконій гідрофосфат (Zn(HPO<sub>4</sub>)<sub>2</sub>·H<sub>2</sub>O, α-ZrP) займає особливе місце. Серед неорганічних шаруватих наноматеріалів найбільш широко охарактеризовані у літературі фосфати цирконію, які володіють високою термічною стабільністю, іонною провідністю, можуть вклю-

чати у інтерламінарний простір молекули різних типів і розмірів та забезпечувати pH селективність доставки активних препаратів, що особливо актуально в терапії пухлинних захворювань.

Цирконій гідрофосфат є катіонітом за рахунок H<sup>+</sup> вільної гідроксогрупи та має шарувату будову з можливістю збільшення міжшарового простору. α-ZrP складається з атомів цирконію які зв'язані гідрофосфатними групами, що розташовані по обидва боки від шару (рис. 1). Ко-жен з трьох Оксигенів фосфатної групи зв'язаний з різними атомами Цирконію, що в результаті утворює октаедральну геометрію навколо Цирконію. Четвертий атом Оксигену націлений в інтерламінарний простір вище або нижче за атоми Цирконію суміжного шару [2]. Процес інтеркаляції може відбуватись за різних механізмів. Так, у випадку Ru(bpy)<sub>3</sub><sup>2+</sup> інтеркаляція всередину ZrP відбувається за рахунок іонного обміну [3], алкіл аміни інтеркалюються за рахунок кислотно-основної реакції, у випадку алканолів відбувається депротонація гідрофосфатних груп, похідні цисплатину заміщують один хлорид-іон на фосфатну групу. Таким чином, по-

передні дослідження демонструють, що інтеркалювати у шари ZrP можна різні за властивостями (розвинність, заряд, полярність) сполуки, такі як доксорубіцин, інсулін, різноманітні амінокислоти та комплекси металів, що мають біологічну активність, неорганічні комплекси [4]. Об'єктами для дослідження інтеркаляції були обрані сполуки диренію(ІІІ) з транс-конфігурацією загальною формулою  $\text{trans-Re}_2(\text{RCOO})_2\text{Cl}_4$ ,  $\text{R}=\text{C}_2\text{H}_5, \text{C}_3\text{H}_7, \text{i-C}_3\text{H}_7$  (рис. 1).

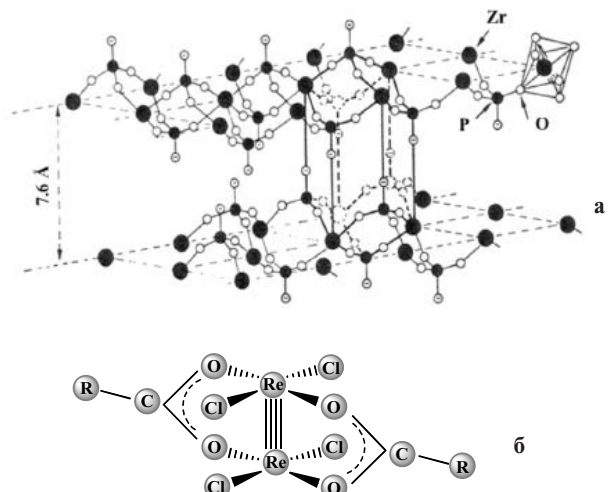


Рис. 1. Кристалічна структура  $\text{Zr}(\text{HPO}_4)_2 \cdot \text{H}_2\text{O}$ ,  $\alpha$ -ZrP (а) та молекулярна структура  $\text{trans-Re}_2(\text{RCOO})_2\text{Cl}_4$  (б)

Почверний зв'язок комплексів диренію(ІІІ) зумовлює широкий спектр біологічної активності, а транс-тетрагалогеноди- $\mu$ -карбоксилати диренію(ІІІ), на відміну від інших структурних типів, є більш реакційно здатними за рахунок можливої координації донорних лігандів у вільні аксіальні положення з утворенням інших структурних типів або за рахунок лабільності галогенідних екваторіальних іонів, що пояснюється транс впливом карбоксилатних лігандів [5].

#### Експериментальна частина

$\text{Zr}(\text{HPO}_4)_2$  було отримано за методикою Марті і Колона [4]. Для цього до 200 мл водного розчину  $\text{ZrOCl}_2 \cdot 8\text{H}_2\text{O}$  (0,05 М) додавали 200 мл  $\text{H}_3\text{PO}_4$  ( $\text{C}=6$  моль/л). Розчин  $\text{H}_3\text{PO}_4$  попередньо нагрівали до температури  $94^\circ\text{C}$  в круглодонній колбі об'ємом 500 мл до додавання  $\text{ZrOCl}_2$ . Одержаній розчин постійно перемішували при температурі  $94^\circ\text{C}$ .

Продукт являв собою дрібнокристалічний осад, який центрифугували та промивали водою декілька разів і висушували при температурі  $80^\circ\text{C}$  протягом 48 год.  $\text{Trans-Re}_2(\text{RCOO})_2\text{Cl}_4$  отримували за методикою [6], згідно з якою через  $\text{Re}_2(\text{RCOO})_4\text{Cl}_2$  при  $t=230-250^\circ\text{C}$  пропускали газоподібний  $\text{HCl}$ .

Спектроскопічні дослідження процесів інтеркаляції кластерних сполук диренію(ІІІ) до

шарів в ізопропіловому спирті ( $\text{C}=10^{-3}$  М) здійснювали на спектрофотометрі “Specord M-40” в області  $45000-11000 \text{ cm}^{-1}$  та на спектрофотометрі СФ-26 у діапазоні  $25000-8500 \text{ cm}^{-1}$ .

Міжшарову відстань визначали методом рентгенівської порошкової дифракції з використанням рентгенівського дифрактометра ДРОН-2 в монохроматизованому  $\text{Cu}-\text{K}_{\alpha}$  випроміненні ( $\lambda=1,54178 \text{ \AA}$ ).

Ультразвукове оброблення виконували в ультразвуковій ванні УЗМ 006/н з робочою частотою 35 кГц при кімнатній температурі.

#### Результати та обговорення

##### Синтез

Процес інтеркаляції  $\text{trans-Re}_2(\text{RCOO})_2\text{Cl}_4$  в шари ZrP досліджувався з використанням  $7,6 \text{ \AA}$  – ZrP. Комpleksi ренію погано розчиняються у воді та можуть гідролізувати [7], тому в якості розчинника був обраний ізопропіловий спирт. Досліджувані комплексні сполуки  $\text{trans-Re}_2(\text{RCOO})_2\text{Cl}_4$  бралися у кількості  $5 \cdot 10^{-4}$  моль/л, згідно з чим було перераховано необхідну кількість  $\text{Zr}(\text{HPO}_4)_2$  для здійснення супензій зі співвідношенням речовина/Zr( $\text{HPO}_4$ )<sub>2</sub> 1:5 та 1:30. В 20 мл ІПС готувався розчин  $\text{trans-Re}_2(\text{RCOO})_2\text{Cl}_4$  і  $\text{Zr}(\text{HPO}_4)_2$ , для повного розчинення було використане оброблення ультразвуком. Одержану колоїдну супензію інтенсивно перемішували на магнітній мішалці протягом 5 діб. Закінчення процесу інтеркаляції контролювали методом електронної спектроскопії та вимірюванням pH розчину. Для цього брали аліквоту супернатанту об'ємом 10 мл після центрифугування супензії протягом 15 хв.

##### Порошкова рентгенівська дифрактометрія

На рис. 2 надані дифрактограми сухих продуктів інтеркаляції. Реакція інтеркаляції з ZrP є топотактичною [8] і дифракційні піки у діапазоні невеликих кутів  $2\theta$  відповідають відстані між шарами. На дифрактограмі  $\text{trans-Re}_2(\text{RCOO})_2\text{Cl}_4$  – ZrP в мольному співвідношенні 1:5 з'являються нові піки при куті  $2\theta=6,6-7,7^\circ$ , що відповідають новій фазі з відстанню між шарами  $13,39-11,5 \text{ \AA}$ . У відсутності інтеркальованої речовини відстань між шарами ZrP відповідає  $7,6 \text{ \AA}$ . Наявність цього піка у дифрактограмі продукту інтеркаляції свідчить про утворення змішаної фази. У дифрактограмі  $\text{trans-Re}_2(\text{RCOO})_2\text{Cl}_4$  – ZrP в мольному співвідношенні 1:30 спостерігається пік, що відповідає  $7,6 \text{ \AA}$  – ZrP, але появи нових піків не спостерігається. Такий результат вказує на те, що при низькому завантаженні  $\text{trans-Re}_2(\text{RCOO})_2\text{Cl}_4$  нова фаза не утворюється, але обмін відбувається за рахунок утворення зв'язків з поверхнею агломерованих наночасток ZrP [9].

Товщина шару ZrP складає  $6,6 \text{ \AA}$  [10]. Враховуючи дані рентгеноструктурного аналізу для

$\text{trans-}\text{Re}_2(\text{CH}_3\text{COO})_2\text{Cl}_4$  [11], мінімальне збільшення відстані між шарами ZrP за рахунок інтеркаляції може складати 6,24 Å, додаючи збільшення за рахунок інтеркаляції  $\text{trans-}\text{Re}_2(\text{CH}_3\text{COO})_2\text{Cl}_4$  можна спрогнозувати відстань між шарами, що повинна складати 12,66 Å. Виходячи з даних дифрактограмами та враховуючи будову комплексної сполуки, можна спрогнозувати три типи взаємодії фосфатної групи з  $\text{Re}_2^{6+}$ : дві фосфатні групи одного і того ж шару можуть координуватись місточково або монодентатно в екваторіальне положення, або фосфатні групи суміжних шарів можуть координуватись в аксіальне положення. Відстань між двома найближчими гідроксогрупами всередині одного шару становить 4,6 Å. Якщо до  $\text{Re}_2^{6+}$  координуються дві фосфатні групи місточково, а кут для O–Re–Re становить 93,3°, тоді відстань Re–Re повинна становити також 4,6 Å, яка є дуже великою (експериментально визначено відстань Re–Re в фосфатних комплексах становить 2,22 Å) [12]. Альтернативною структурою може бути комплекс з фосфатними лігандами двох суміжних шарів ZrP в аксіальному положенні. Таким чином, інтеркальований  $\text{trans-}\text{Re}_2(\text{RCOO})_2\text{Cl}_4$  зорієнтований у міжшаровому просторі паралельно до площини ZrP.

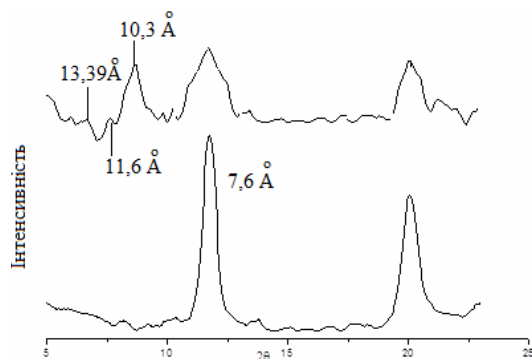


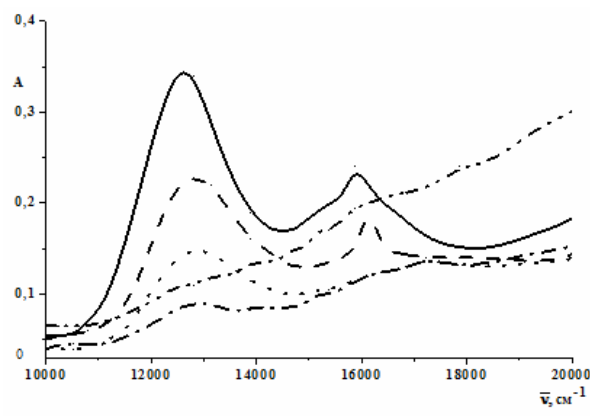
Рис. 2. Рентгенівська дифрактограма  $\alpha\text{-Zr}(\text{HPO}_4)_2$ , система  $\text{trans-}\text{Re}_2(\text{C}_2\text{H}_5\text{COO})_2\text{Cl}_4/\text{ZrP}$

Спектрофотометричне дослідження процесу інтеркаляції  $\text{trans-}\text{Re}_2(\text{RCOO})_2\text{Cl}_4$  в наношари цирконій гідрофосфату. Для розчинів транс-тетрагалогеноди- $\mu$ -карбоксилатів діренію(ІІІ) у видимій області спостерігається дублетна картина ( $\approx 12600$  та  $\approx 16000$   $\text{cm}^{-1}$ ). Положення цих смуг поглинання стабільне і практично не змінюється для різних галогенідних лігандів [12], але інтенсивність буде змінюватись в залежності від природи карбоксилатних лігандів.

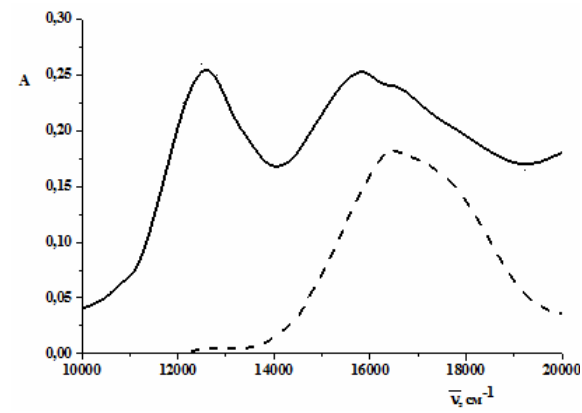
Для виключення впливу розчинника було досліджено поведінку  $\text{trans-}\text{Re}_2(\text{RCOO})_2\text{Cl}_4$  в ІПС. Протягом 6 діб спектральна картина не змінювалась і характеристичні смуги зберігають

свою інтенсивність, що виключає вплив розчинника на процес інтеркаляції досліджуваних речовин. Потрібно зауважити, що у випадку використання у якості розчинника метанолу, характеристичні смуги поглинання, що належать електронному переходу  $\delta \rightarrow \delta^*$  в області 12600 та 16129  $\text{cm}^{-1}$  поступово зникають протягом 6 діб. Така поведінка пов'язана з процесами алкоголізу, що призводить до руйнування зв'язку Re–Re [13].

Протягом процесу інтеркаляції спостерігається зміна в спектральній картині комплексу ренію(ІІІ) транс-конфігурації. Було встановлено, що спектральна картина змінюється в залежності від співвідношення комплекс діренію(ІІІ)/ZrP, що підтверджує дані рентгенівської дифрактометрії (рис. 2).



a



б

Рис. 3. а – ЕСП системи  $\text{trans-}\text{Re}_2(\text{i-C}_3\text{H}_7\text{COO})_2\text{Cl}_4/\text{ZrP}$  у співвідношенні 1:30 протягом часу: —  $2 \cdot 10^{-4}$  М  $\text{trans-}\text{Re}_2(\text{i-C}_3\text{H}_7\text{COO})_2\text{Cl}_4$ , - - - 1 доба, ..... 2 доба, - - - 4 доба, - - - 5 доба; б – ЕСП системи  $\text{trans-}\text{Re}_2(\text{i-C}_3\text{H}_7\text{COO})_2\text{Cl}_4 / \text{ZrP}$  у співвідношенні 1:5 протягом часу: —  $2 \cdot 10^{-4}$  М  $\text{trans-}\text{Re}_2(\text{i-C}_3\text{H}_7\text{COO})_2\text{Cl}_4$ , - - - 2 доба; Контроль – ІПС.

В спектрі системи комплекс/ZrP у співвідношенні 1:30 відбувається невеликий гіпсо-

хромний зсув основних смуг поглинання з  $12500\text{ cm}^{-1}$  та  $15873\text{ cm}^{-1}$  на  $12820\text{ cm}^{-1}$  та  $17240\text{ cm}^{-1}$  відповідно. Збереження дублетної картини пояснюється відсутністю змін лігандного оточення, але за рахунок хемосорбції на поверхню цирконій гідроfosfatу відбувається перерозподіл електронної густини, що пояснює зсув значень характеристичних смуг поглинання у бік збільшення енергії.

У системі комплекс диренію(ІІІ)/ $\text{ZrP}$  у співвідношенні 1:5 на 3 добу спостерігалося зникнення максимуму в області  $12500\text{ cm}^{-1}$  та зміщення смуги поглинання з  $16129\text{ cm}^{-1}$  до  $16393\text{ cm}^{-1}$ , що свідчить про утворення цис-структурного типу комплексу диренію(ІІІ). Утворення комплексу з цис-конфігурацією можна пояснити координацією фосфатних груп шарів  $\text{ZrP}$  в аксіальне положення (рис. 3). Інтенсивність характеристичної смуги поглинання утвореного комплексу з часом зменшувалась, що свідчить про зменшення концентрації комплексу у розчині за рахунок процесів інтеркаляції.

Спектр суспензії системи комплекс диренію(ІІІ)/ $\text{ZrP}$  має дві смуги поглинання в області  $12500\text{ cm}^{-1}$  та  $15650\text{ cm}^{-1}$ . Така картина підтверджує успішну інтеркаляцію комплексних сполук диренію(ІІІ) в інтерламінарний простір  $\text{ZrP}$ , але також відображає дані рентгеноструктурного аналізу та свідчить про утворення змішаної фази, що може складатись з вихідних речовин і карбоксилато-фосфатів диренію(ІІІ) різного складу.

#### **Висновки**

Інтеркаляція *trans*- $\text{Re}_2(\text{RCOO})_2\text{Cl}_4$  завдяки іонообмінному механізму використовуючи  $\alpha$ - $\text{ZrP}$  призводить до утворення нової фази у інтерламінарному проторі. Спектрофотометричні дослідження показали, що включення відбувається за рахунок координації четвертого атона Оксигену, який націлевий в інтерламінарний простір. Така координація є причиною зміни структурного типу вихідної комплексної сполуки. Процес інтеркаляції не залежить від довжини радикала карбоксиланого ліганду, але залежить від співвідношення комплекс диренію(ІІІ)/ $\text{ZrP}$ . Таким чином, отримані результати відкривають нові перспективи для використання сполук диренію(ІІІ) в якості біологічно активних речовин.

#### **Вдячність**

Висловлюємо вдячність старшому науковому співробітнику НДЛ ХТПМ Баскевичу О.С. за співпрацю і плідне обговорення результатів рентгенівської порошкової дифракції. Ми також вдячні COST Action CM1105 за підтримку.

#### **СПИСОК ЛІТЕРАТУРИ**

1. Parveen S., Mistra R., Sahoo S.K. Nanoparticles: a boom to drug delivery, therapeutics, diagnostics and imaging // Nanomedicine. – 2012. – Vol.8. – P.147-166.
2. Troup J.M., Clearfield A. Mechanism of ion exchange in zirconium phosphates. Refinement of the crystal structure of a-zirconium phosphate // Inorganic Chemistry. – 1977. – Vol.16. – P.3311-3314.
3. Marti A.A., Colon J. L. Direct ion exchange of tris (2, 2'-bipyridine) ruthenium (II) into an  $\beta$ -zirconium phosphate framework // Inorganic Chemistry. – 2003. – Vol.42. – P.2830-2832.
4. Diaz A., Clearfield A., Colon L. Direct intercalation of cisplatin into zirconium phosphate nanoplatelets for potential cancer nanotherapy // Nanoscale. – 2014. – Vol.12. – P.65-69.
5. Нові методи синтеза ізомерних галогенокарбоксилатів диренія(ІІІ) / Голіченко А.А., Штеменко А.В., Кожура О.В. // Вопросы химии и химической технологии. – 2001. – № 6. – С.14-16.
6. Изучение процессов гидролиза биядерных кластерных соединений рения(ІІІ) различных структурных типов / Егорова Д.Е., Берзенина О.В., Столляренко В.Г., Штеменко А.В. // Вопр. химии и хим. технологии. – 2008. – № 1. – С.27-31.
7. Formation of conducting organic-inorganic hybrids by intercalation / Backov R., Bonnet B., Jones D.J., Roziere J. // Chemistry of Materials. – 1997. – Vol.9. – P.1812-1818.
8. Nanoencapsulation of insulin into zirconium phosphate for oral delivery applications / Diaz A., David A., Perez R. etc. // Biomacromolecules. – 2010. – Vol.11. – P.2465-2470.
9. Yang C., Clearfield A. The preparation and ion-exchange properties of zirconium sulphophosphonates // Reactive Polymers, Ion Exchangers, Sorbents. – 1987. – Vol.5. – P.13-21.
10. Kozmin P.A., Surazhskaya M.D., Larina T.B. The structure of the compounds  $\text{Re}_2\text{Cl}_2(\text{CH}_3\text{COO})_2[\text{OS}(\text{CH}_3)_2]_2$  // Soviet Journal of Coordination Chemistry. – 1979. – Vol.5. – № 4. – P.598-600.
11. Штеменко А.В., Столляренко В.Г., Домасевич К.В. Строение и спектральные характеристики соединения  $(\text{NH}_4)_2[\text{Re}_2(\text{HPO}_4)_4 \cdot 2\text{H}_2\text{O}]$  // Журн. неорг. химии. – 2006. – Т.51. – №. 7. – С.1092-1097.
12. Штеменко А.В., Багиров Ш.А., Котельникова А.С. Тетрагалогенодиацетатные комплексы  $\text{Re}_2^{6+}$  транс конфигурации // Журн. неорг. химии. – 1981. – Т.26. – № 1. – С.111-114.
13. Synthesis and X-ray crystal structure of the dirhenium complex  $\text{Re}_2(i-\text{C}_3\text{H}_7\text{CO}_2)_4\text{Cl}_2$  and its interactions with the DNA purine nucleobases / Shtemenko A.V., Chifotides H.T., Yegorova D.E. etc. // Journal of Inorganic Biochemistry. – 2015. – Vol.153. – P.114-120.

LAYERED ZIRCONIUM PHOSPHATE NANOPARTICLES AS A FORM OF PACKAGING FOR THE  $\text{TRANS-}\text{RE}_2(\text{RCOO})_2\text{CL}_4$

A.V. Slipkan, D.E. Kytova, A.V. Shtemenko

Ukrainian State University of Chemical Technology, Dnipro, Ukraine

We investigated the process of intercalation of dirhenium(III) complexes of the trans-configuration with the general formula  $\text{trans-}\text{Re}_2(\text{RCOO})_2\text{Cl}_4$  into zirconium phosphate ( $\text{ZrP}$ ), using  $7.6 \text{ E} - \text{ZrP}$  layered inorganic nanomaterial as a precursor. To determine the most effective parameters of intercalation, complex/ $\text{ZrP}$  systems at a ratio of 1:5 and 1:30 were used, and the solvent has been determined. X-ray powder diffraction (XRPD) and UV-Vis spectroscopy were applied to confirm the presence of dirhenium(III) complexes between the layers of  $\text{ZrP}$ . XRPD data indicate that a new phase with an expanded interlayer distance of  $13.39 - 11.5 \text{ \AA}$  was obtained and the efficiency of the incorporation of dirhenium(III) compound increases with an increase of its amount which was confirmed by UV-Vis spectroscopy. During the intercalation process, the change in the UV-vis spectra of rhenium(III) complex of trans-configuration was observed. For the system dirhenium(III) complex/ $\text{ZrP}$  in a ratio of 1:5, disappearance of maximum at  $12500 \text{ cm}^{-1}$  and the shift of the absorption bands from  $16129 \text{ cm}^{-1}$  to  $16393 \text{ cm}^{-1}$  were observed indicating the formation of cis-structure type of dirhenium(III) complex. Thus, these results open new perspectives for the use of dirhenium(III) compounds as biologically active substances.

**Keywords:** dirhenium(III) complexes; zirconium phosphate; intercalation; nanomaterials; layered nanoparticles.

REFERENCES

- Parveen S., Mistra R., Sahoo S.K. Nanoparticles: a boom to drug delivery, therapeutics, diagnostics and imaging. *Nanomedicine*, 2012, vol. 8, pp. 147-166.
- Troup J.M., Clearfield A. Mechanism of ion exchange in zirconium phosphates. Refinement of the crystal structure of a-zirconium phosphate. *Inorganic Chemistry*, 1977, vol. 16, pp. 3311-3314.
- Marti A.A., Colon J.L. Direct ion exchange of tris (2, 2'-bipyridine) ruthenium (II) into an 6-zirconium phosphate framework. *Inorganic Chemistry*, 2003, vol. 42, pp. 2830-2832.
- Diaz A., Clearfield A., Colon L. Direct intercalation of cisplatin into zirconium phosphate nanoplatelets for potential cancer nanotherapy. *Nanoscale*, 2014, vol. 12, pp. 65-69.
- Galichenko A.A., Shtemenko A.V., Kozhura O.V. Novye metody sinteza izomernykh galogenarboksilatov direniya(III) [New methods for the synthesis of the isomeric halogen-carboxylate dirhenium(III)]. *Voprosy khimii i khimicheskoi tekhnologii*, 2001, vol. 6, pp. 14-16. (in Russian).
- Egorova D.E., Berzenina O.V., Stolyarenko V.G., Shtemenko A.V. Izuchenie protsessov hidroliza biyadernykh soedinenii reniya(III) razlichnykh strukturnykh tipov [Study of the hydrolysis processes of binuclear cluster rhenium(III) compounds with different structural types]. *Voprosy khimii i khimicheskoi tekhnologii*, 2008, vol. 1, pp. 27-31. (in Russian).
- Backov R., Bonnet B., Jones D.J., Roziere J. Formation of conducting organic-inorganic hybrids by intercalation. *Chemistry of Materials*, 1997, vol. 9, pp. 1812-1818.
- Diaz A., David A., Perez R., Gonzalez M.L., Baez A., Wark S.E., Zhang P., Clearfield A., Colon J.L. Nanoencapsulation of insulin into zirconium phosphate for oral delivery applications. *Biomacromolecules*, 2010, vol. 11, pp. 2465-2470.
- Yang C., Clearfield A. The preparation and ion-exchange properties of zirconium sulphophosphonates. *Reactive Polymers, Ion Exchangers, Sorbents*, 1987, vol. 5, pp. 13-21.
- Kozmin P.A., Surazhskaya M.D., Larina T.B. The structure of the compounds  $\text{Re}_2\text{Cl}_2(\text{CH}_3\text{COO})_2[\text{OS}(\text{CH}_3)_2]_2$ . *Soviet Journal of Coordination Chemistry*, 1979, vol. 5, no. 4, pp. 598-600.
- Shtemenko A.V., Stolyarenko V.G., Domasevich K.V. Stroenie i spektralnye kharakteristiki soedineniya  $(\text{NH}_4)_2[\text{Re}_2(\text{HPO}_4)_4 \square 2\text{H}_2\text{O}]$  [Structure and spectral characteristics of compound  $(\text{NH}_4)_2[\text{Re}_2(\text{HPO}_4)_4 \square 2\text{H}_2\text{O}]$ ]. *Journal of Inorganic Chemistry*, 2006, vol. 51, no. 7, pp. 1092-1097. (in Russian).
- Shtemenko A.V., Bagirov S.H., Kotelnikova A.S. Tetrahalides acetate complex  $\text{Re}_2^{6+}$  trans configuration. *Journal of Inorganic Chemistry*, 1981, vol. 26, no. 1, pp. 111-114.
- Shtemenko A.V., Chifotides H.T., Yegorova D.E., Shtemenko N.I., Dunbar K.R. Synthesis and X-ray crystal structure of the dirhenium complex  $\text{Re}_2(i-\text{C}_3\text{H}_7\text{CO}_2)_4\text{Cl}_2$  and its interactions with the DNA purine nucleobases. *Journal of Inorganic Biochemistry*, 2015, vol. 153, pp. 114-120.